

# نقش لامپ های تخلیه گازی در تولید هارمونیک در سیستم های قدرت

داریوش عبادی  
دانشجوی کارشناسی ارشد

سید حمید فتحی  
استادیار

سید حسین حسام الدین صادقی  
دانشیار  
داشکده مهندسی برق، دانشگاه صنعتی امیرکبیر

## چکیده

در این مقاله رفتار لامپهای تخلیه گازی (بغار سدیم و جیوه)، که در روشنائی معابر، خیابانها، سالن های ورزشی و کارخانجات کاربرد فراوان دارند، و نقش آنها در تولید هارمونیک در شبکه های قدرت به دو طریق شبیه سازی و اندازه گیری عملی مورد مطالعه و بررسی قرار گرفته است. همچنین از آنجا که این نوع لامپ ها با ضربه قدرت پائین ( $5 / 4 - 0$ ) کار می کنند، معمولاً جهت اصلاح ضربه قدرت از خازن های توزیع شده به همراه لامپ ها استفاده می گردد. اتصال خازن ها میتواند علاوه بر اصلاح ضربه قدرت بر هارمونی های تزریقی لامپ ها به شبکه نیز مؤثر باشد. با توجه به اینکه لامپ های مذکور بصورت تک فاز هستند و حتی الامکان بصورت متعادل بین سه فاز توزیع می شوند. مستمله هارمونی های ضربه سه و جمع شدن آنها در سیم نول از مسائلی مهمی است که در این مطالعه به آن پرداخته شده است.

نتایج نشان می دهند که هارمونی های ضربه سه متناظر در هر فاز، در نقطه صفر اتصال ستاره با یکدیگر جمع شده و در سیم نول جاری می شوند. بطوریکه دامنه هارمونی ضربه سه در سیم نول برابر مجموع هارمونی های متناظر در هر فاز می باشد.

همچنین نتایج حاصل از شبیه سازی (با استفاده از نرم افزار 5.1 Pspice) و اندازه گیری عملی نشان میدهند که مقدار هارمونی های حاری شده در سیم نول در حالتی که نقطه صفر اتصال ستاره خازنهای اصلاح ضربه نتوان به سیم نول وصل باشد، بیشتر از حالتی است که اتصال مذکور از سیم نول قطع باشد.

همانگونه که بیان شد به مطالعات ذکر شده در فوق از دو جنبه شبیه سازی و اندازه گیری عملی پرداخته شده است که مطابقت نسبتاً خوب بین نتایج شبیه سازی و اندازه گیری عملی حاکی از دقت کافی شبیه سازی می باشد.

## The Role of Discharge Lamps In Harmonic Generation In Power Systems

S. H. Fathi  
Assistant Professor

D. Ebadi  
M.SC Student

S. H. H. Sadeghi  
Associate Professor  
Department of Electrical Engineering,  
Amirkabir University of Technology

## Abstract

*The behavior of discharge lamps (Na and Hg), which are widely used in the lighting of passages, streets, stadiums and factories, and their role in the generation of harmonic distortions in a power system have been studied both theoretically and experimentally. Due to the poor power factor (0. 4-0. 55), these lamps are usually equipped with capacitors, which can also affect the severity of harmonic generation. To reduce system unbalance status, three single-phase components are commonly installed in equal numbers within the three phases. As a result, triplen harmonics are basically additive in the neutral, generating a dominant third harmonic current. It is shown that the third harmonic current is larger when the capacitors star-point is disconnected. The good agreement between the theoretical results and their experimental counterparts demonstrates the validity of the theoretical model used in this paper.*

## کلمات کلیدی

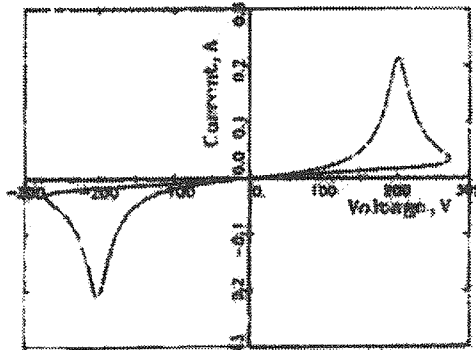
لامپ های تخلیه گازی، هارمونی، ضریب قدرت، ضریب اعوجاج کلی (THD)، هارمونی مضری سه.

## مقدمه

یکی از انواع بارهای غیر خطی و مولد هارمونیک در شبکه قدرت لامپ های تخلیه گازی است که کاربرد فراوانی در روشناشی معابر، میادین و سالن های ورزش و کارخانجات دارد [۱].

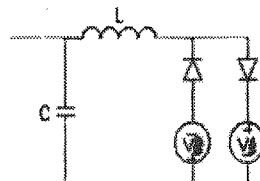
یک لامپ تخلیه گازی قدرت بسیار ناچیزی در مقایسه با ظرفیت شبکه مصرف می کند، لذا بتهائی نمی تواند اثر قابل ملاحظه ای بر شبکه داشته باشد [۳]. لیکن با توجه به تعداد بسیار زیاد آنها در شبکه، آثار آنها از جمله آلودگی هارمونیکی، قابل توجه خواهد بود.

مشخصه ولت - آمپر نمونه ای از لامپ های تخلیه گازی در شکل (۱) نشان داده شده است [۲].

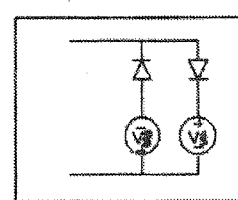


شکل (۱) مشخصه ولت - آمپر نمونه لامپ تخلیه گازی.

همچنانکه در این شکل مشاهده می شود پس از شکست و ایجاد قوس الکتریکی، ولتاژ دو سر لامپ نسبتاً ثابت می ماند که با توجه به شکل فوق این قوس در هر نیم سیکل ایجاد شده و ولتاژ دو سر لامپ در هر نیم سیکل تقریباً ثابت و برابر ولتاژ قوس الکتریکی می باشد [۴]. بنابراین می توان ۳- بعضی از چراغ های ای را خازن تصحیح ضریب قدرت نیز می باشند. بنابر توضیحات فوق مدار معادل یک چراغ صنعتی با خازن اصلاح ضریب قدرت در شکل (۴) نشان داده شده است.



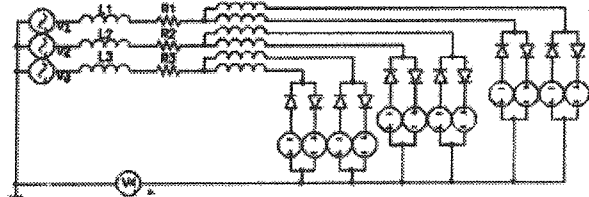
شکل (۴) مدار معادل چراغ صنعتی.



شکل (۲) مدل مداری لامپ تخلیه گازی.

## ۱-لامپهای تخلیه‌گازی بدون خازن اصلاح ضریب توان

درایین قسمت به تحلیل نتایج حاصل از شبیه سازی و اندازه گیری عملی لامپهای تخلیه‌گازی پرداخته می‌شود. شکل (۵) مدار سه فاز لامپ‌های تخلیه‌گازی شبیه سازی شده را نشان می‌دهد. در این شکل  $L_{1,2,3}$  و  $R_{1,2,3}$  نشان دهنده اندوکتانس و مقاومت منبع می‌باشد.



شکل (۵) مدار سه فاز لامپ تخلیه‌گازی (بدون خازن).

در اندازه گیری عملی دو چراغ بطور موازی مورد استفاده قرار گرفته است. لذا در شبیه سازی نیز جهت تشابه و یکسان بودن نتایج از دو چراغ موازی در هر فاز استفاده شده است. اندازه گیری عملی با استفاده از آنالایزر LEM2050 انجام گرفته که نرخ نمونه برداری در این آنالایزر هارمونیکی ۱۲۸ نمونه در هر سیکل می‌باشد. جدول (۱) لیست لامپ‌های تخلیه‌گازی مورد آزمایش و اندازه گیری عملی را نشان می‌دهد.

جدول (۱) مشخصات لامپ‌های مورد آزمایش.

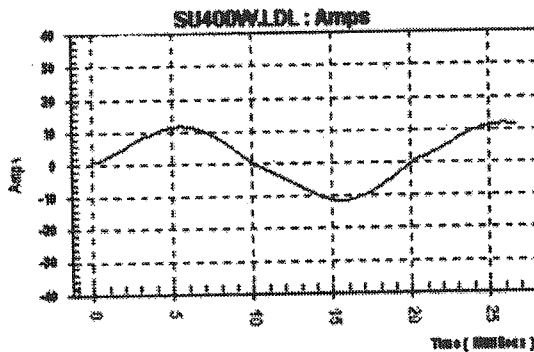
نوع لامپ	توان (وات)	تعداد لامپ در هر فاز
سدیم	۲۱۰	۲
سدیم	۲۵۰	۲
سدیم	۴۰۰	۲
جيوه	۲۵۰	۲
جيوه	۴۰۰	۲

در شبیه سازی سعی شده است تا مقادیر واقعی المان‌های چراغ قرار داده شود، بطوریکه در مدار شکل (۵) مقدار اندوکتانس بالاست ۱۳۰ میلی هانری و ولتاژ قوس الکتریکی ۱۰۰ ولت در نظر گرفته شده است که این مقادیر مربوط به لامپ تخلیه‌گازی بخار سدیم ۴۰۰ وات می‌باشد، تا بتوانیم مقایسه صحیحی بین نتایج اندازه گیری و شبیه سازی داشته باشیم. شکل (۶) شکل موج و طیف هارمونیکی جریان فاز مدار شکل (۵) را نشان می‌دهد. همچنین شکل (۷) نتایج حاصل

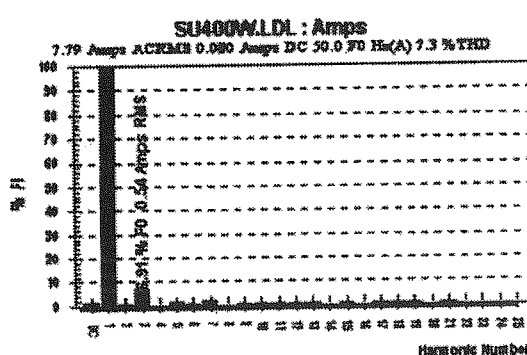
از اندازه گیری متناظر با شکل (۶) را نشان می‌دهد که تشابه نسبتاً خوبی بین آنها برقرار است. همچنانکه در شکل (۶) مشاهده می‌شود هارمونی های مرتبه سوم، پنجم و هفتم دارای بیشترین دامنه می‌باشند. نتایج اندازه گیری شکل (۷) صحت نتایج شبیه سازی را تأیید می‌نماید. بنابراین طیف هارمونیکی جریان فاز لامپ تخلیه‌گازی دارای هارمونی های مرتبه فرد می‌باشد که بیشترین دامنه هارمونیکی مربوط به هارمونی مرتبه سه است.

شکل (۸) شکل موج و طیف هارمونیکی جریان نول مربوط به نتایج شبیه سازی را نشان می‌دهد. همانگونه که مشاهده می‌شود هارمونی غالب در شکل یادشده هارمونی مرتبه سوم است که طیف هارمونیکی مربوطه نیز این موضوع را نشان می‌دهد. با مقایسه شکل (۸-ب) با شکل (۶-ب) به وضوح مشاهده می‌شود که دامنه هارمونی سوم در شکل (۸-ب) سه برابر دامنه هارمونی متناظر در شکل (۶-ب) می‌باشد. همچنین ملاحظه می‌گردد که هارمونی های توالی مثبت و منفی از جریان نول حذف شده اند.

به طور کلی در سیستم‌های سه فاز با اتصال ستاره، جمع جریان سه فاز در نقطه صفر اتصال ستاره برابر صفر می‌باشد و لذا جریانی از سیم نول جاری نمی‌شود (فرض بر تعادل بین سه فاز و عدم آلودگی جریان فازها می‌باشد). حال اگر جریان هر فاز شامل هارمونی های توالی مثبت، منفی و صفر باشد، باز هم بدلیل اختلاف فاز ۱۲۰ درجه بین جریان فازها جمع هارمونی های توالی مثبت و منفی در نقطه صفر ستاره مساوی صفر خواهد بود. ولی هارمونی های مضرب سه در سه فاز به دلیل هم‌فاز بودن، در نقطه صفر ستاره جمع شده و در سیم نول سه برابر دامنه هارمونی های متناظر صورت تعادل سیستم سه فاز، اندازه دامنه هارمونی های مضرب سه در سیم نول سه برابر دامنه هارمونی های متناظر در هر دو هر یک از سه فاز می‌باشد. ولی اگر سیستم سه فاز دارای عدم تعادل باشد، در سیم نول علاوه بر وجود مؤلفه اصلی، جمع دامنه هارمونی های مضرب سه متناظر در هر فاز را در سیم نول خواهیم داشت. نتایج اندازه گیری نیز این موضوع را تائید می‌کنند، بطوریکه دامنه هارمونی سوم در طیف هارمونیکی جریان فاز مدار لامپ (۶-ب) برابر  $0.54 \text{ آمپر}$  آمپر مؤثر بوده و در شکل (۹) برابر  $1/65 \text{ آمپر}$  مؤثر (سه برابر دامنه هارمونی سوم جریان فاز لامپ) است. همان‌طوریکه مشاهده می‌شود هارمونی اصلی در شکل (۹)  $50 \text{ هرتز}$  است که ناشی از عدم تقارن در سه فاز است. یک لامپ تخلیه‌گازی بدلیل قدرت کم به تنهایی نمی‌تواند اثر قابل ملاحظه‌ای از نظر هارمونیکی بر شبکه داشته باشد.

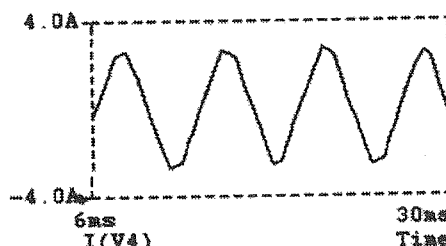


(الف)

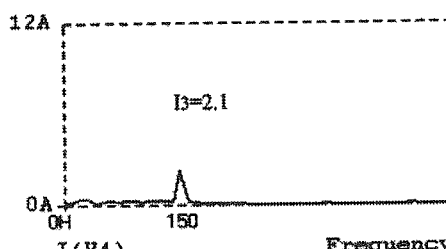


(ب)

شکل(۷) جریان فاز لامپ (الف) شکل موج و  
ب) طیف هارمونیکی جریان فاز مدار لامپ تخلیه گازی (بدون خازن).

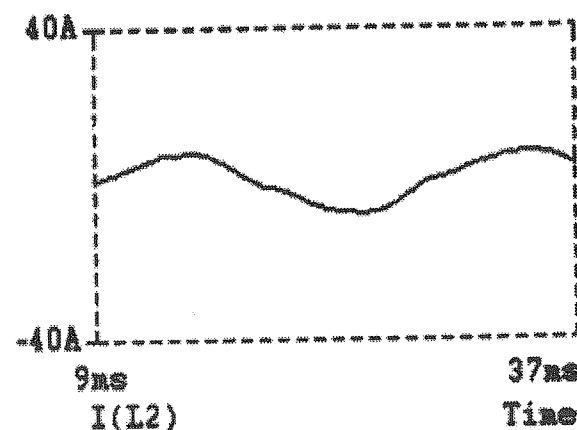


(الف)

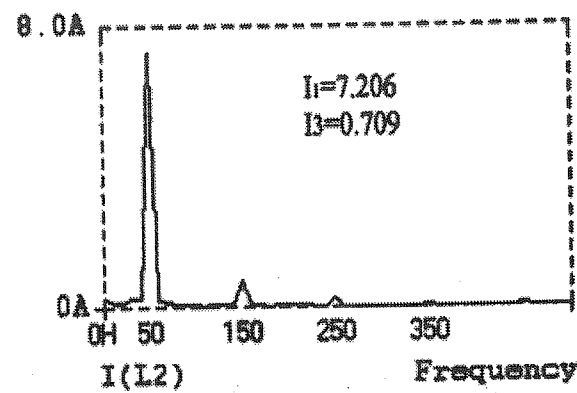


شکل (۸) جریان نول (الف) شکل موج و  
ب) طیف هارمونیکی جریان نول مدار شکل(۵).

لیکن از آنجا که معمولاً تعداد زیادی از این نوع لامپ‌ها مورد استفاده قرار می‌گیرد، آلدگی هارمونیکی ناشی از آنها در خور توجه است. شکل (۱۰) شکل موج و طیف هارمونیکی جریان سه فاز و سیم نول مربوط به قسمتی از روشناشی محوطه در مجتمع صنایع لاستیک کرمان که از طریق اندازه‌گیری عملی بدست آمده است را نشان می‌دهد. در این شکل عدم تعادل جریان سه فاز (دلیل اصلی آن تقسیم نامساوی لامپ‌ها در سه فاز می‌باشد) و جمع شدن دامنه هارمونیک‌های مرتبه سه متناظر در هر فاز و جاری شدن آنها در سیم نول شکل (۱۰-د) مشاهده می‌شود. بعلاوه شکل (۱۰) نشان دهنده تولید هارمونی قابل ملاحظه در هر فازی بوده و همانگونه که ذکر شد علت آن استفاده از تعداد زیادی لامپ در هر فاز می‌باشد.



(الف)



(ب)

شکل (۱۰) جریان فاز لامپ  
الف) شکل موج و ب) طیف هارمونیکی جریان فاز مدار شکل(۵).

در مدار لامپ های تخلیه گازی موجود در جدول (۱) در دو حالت با خازن و بدون خازن اصلاح ضریب توان را نشان می دهنده در جدول (۲) ستون سوم نشان دهنده افزایش ضریب قدرت در مدار لامپ های تخلیه گازی با قرار دادن خازن اصلاح ضریب توان در مدار لامپ می باشد. وجود خازن سبب تزریق مؤلفه راکتیو جریان شده ، لذا جریان و توان راکتیو مصرفی از دید شبکه کاهش می یابد که ستون های یک و دو جدول (۲) بترتیب نشان دهنده این موضوع می باشند. همچنین با مشاهده ستون سوم جدول (۲) میتوان نکات زیر را بیان نمود:

۱- کوچکترین ضریب قدرت قبل از اصلاح (استفاده از خازن) مربوط به لامپ بخار سدیم با توان ۲۱۰ وات و برابر  $377/0$  می باشد.

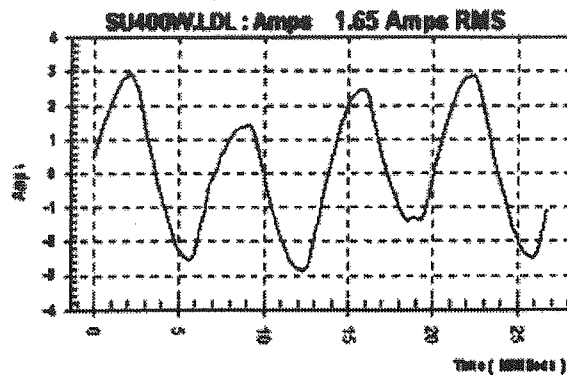
۲- بیشترین ضریب قدرت پس از اصلاح مربوط به لامپ بخار جیوه با توان ۲۵۰ وات و برابر  $84/0$  می باشد.

۳- با توجه به بند ۲ با وجود اصلاح هنوز ضریب قدرت کمتر از حد قابل قبول (از نظر شرکت های برق منطقه ای ضریب قدرت قابل قبول  $9/0$  می باشد) بوده و حاکی از آن است که خازن بکار رفته کافی نیست و بهتر است از خازن بزرگتر استفاده شود.

مدار سه فاز لامپ تخلیه گازی (با خازن) شبیه سازی شده در شکل (۱۱) نشان داده شده است.

در این مدار با انتخاب سه مقدار خازن متفاوت و شبیه سازی و محاسبه ضریب قدرت در سه مرحله برای لامپ تخلیه گازی ۲۵۰ وات نتایج زیر بدست آمده است:

ضریب قدرت به ازای خازن  $16, 25, 45$  میکروفاراد بترتیب برابر  $84/0, 733/0, 995/0$  می باشد که با توجه به نتایج بدست آمده می توان گفت که با انتخاب خازن مناسب میتوان ضریب قدرت را به واحد نزدیکتر کرد.



شکل (۹) شکل موج اندازه گیری شده جریان سیم نول مدار لامپ تخلیه گازی (بدون خازن).

## ۲. استفاده از خازن اصلاح ضریب توان در مدار لامپ های تخلیه گازی

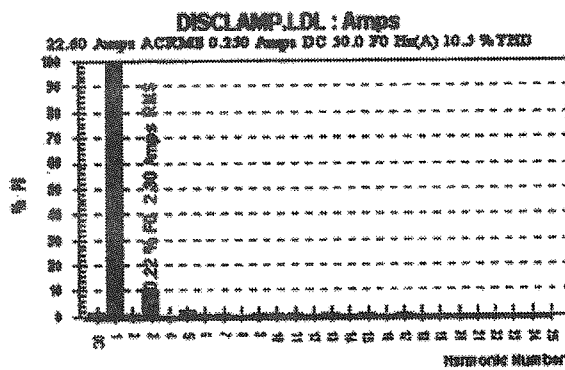
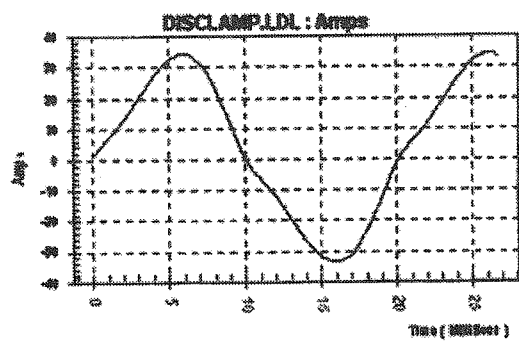
همانگونه که در شکل (۴) مشاهده شد جهت محدود کردن جریان لامپ تخلیه گازی وايجاد ولتاژ بالا برای راه اندازی لامپ، مدار لامپ نیاز به چوگ (بالاست) دارد که همین امر موجب کاهش ضریب قدرت می شود. همانطوریکه در جدول (۲) مشاهده می شود ضریب قدرت قبل از اصلاح (بدون خازن) بین  $377/0$  و  $543/0$  می باشد.

استفاده از تعداد زیاد این لامپ ها در کارخانجات، میادین ورزشی و... موجب کاهش قابل ملاحظه ضریب توان شبکه برق مربوطه می گردد، که این مشکل با خازن گذاری محلی در مدار لامپ تا حدودی بر طرف می شود. در تاسیسات مورد مطالعه بسته به توان لامپ،  $210$  تا  $250$  وات از خازن  $18$  یا  $40$  میکروفاراد و برای لامپ های  $400$  وات از خازن های  $25$  میکروفاراد استفاده شده است.

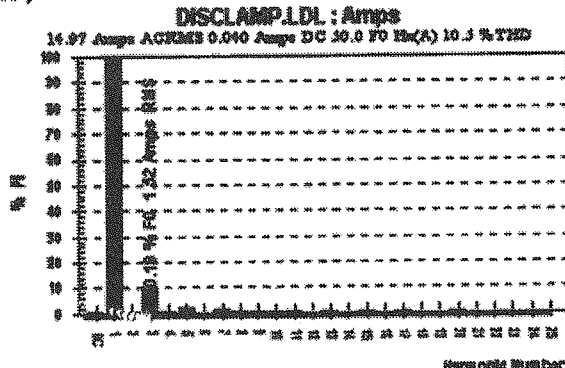
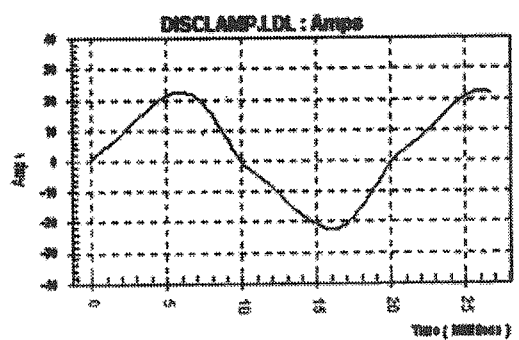
جدول (۲)، ستون های (۲، ۱)، بترتیب مقادیر جریان، توان راکتیو و ضریب توان حاصل از نتایج اندازه گیری عملی

جدول (۲) جریان [آمپر] - توان راکتیو [وار] - ضریب قدرت و THD % اندازه گیری شده مربوط به لامپ های تخلیه گازی.

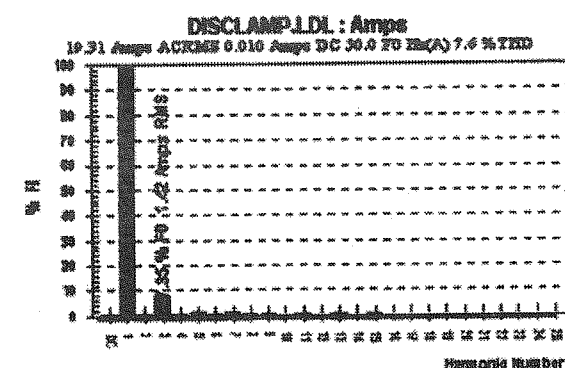
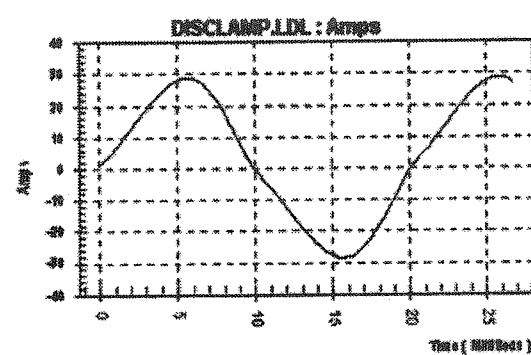
%THD(I)	ضریب توان		توان راکتیو(وار)		جریان(آمپر)		نوع لامپ
	بدون خازن	با خازن	بدون خازن	با خازن	بدون خازن	با خازن	
۱۳/۹	۸/۲	۰/۶۵۷	۰/۳۷۷	۴۸۵	۱۰۴۶	۲/۷۶	۲۱۰ سدیم
۱۵	۷/۶	۰/۶۸۲	۰/۳۸۶	۵۳۴	۱۱۰۴	۳/۳	۲۰۰ سدیم
۱۲/۴	۷/۳	۰/۶۳۸	۰/۴۱۸	۹۵۶	۱۷۱۴	۵/۴۷	۴۰۰ سدیم
۱۴/۸	۹/۴	۰/۸۴	۰/۰۲۱	۳۰۶	۷۴۶	۲/۹۴	۲۵۰ جیوه
۱۴/۸	۹/۱	۰/۸۳۱	۰/۰۳۴	۵۶۸	۱۲۸۵	۴/۶۱	۴۰۰ جیوه



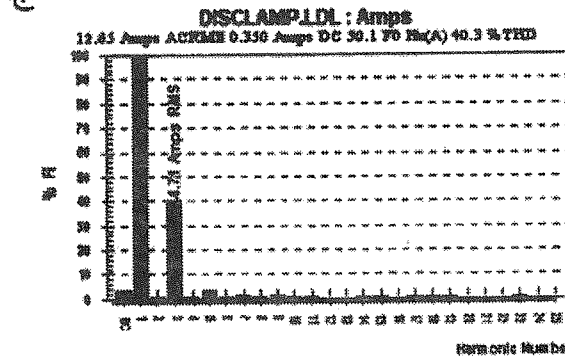
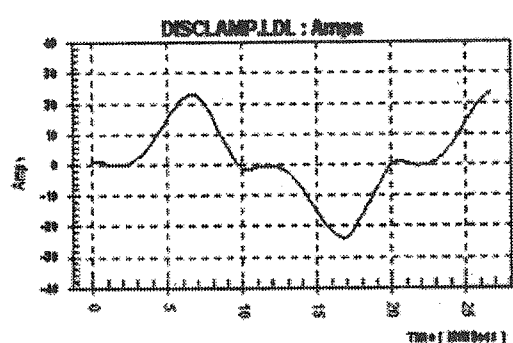
(الف)



(ب)



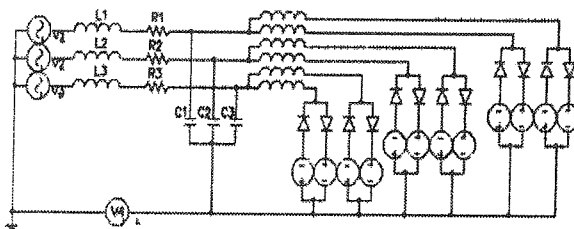
(ج)



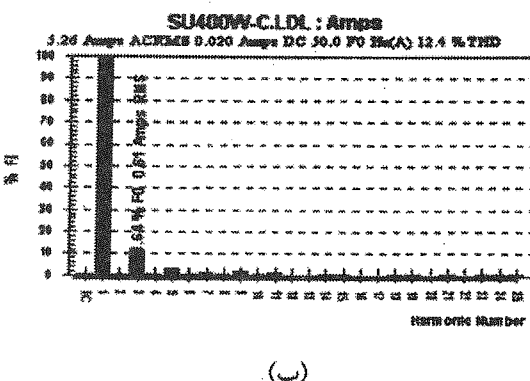
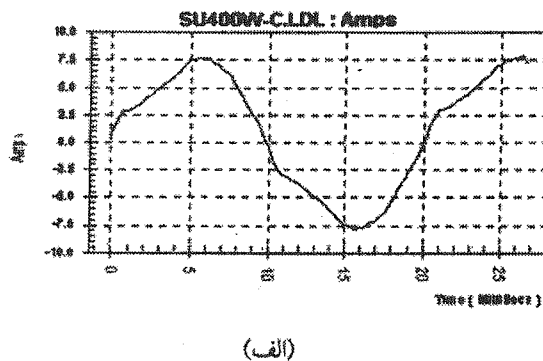
(د)

شکل (۱۰) شکل موج اندازه گیری شده و طیف هارمونیکی جریان (الف) فاز (الف) فاز (ب) فاز (ب) (ج) فاز (د) سیم نول مربوط به قسمتی از روشناهی محوطه (بدون خازن) در مجتمع صنایع لاستیک کرمان.

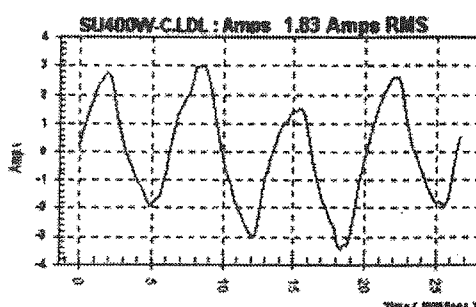
مربوط به حالتی که نقطه اتصال ستاره خازن‌ها از سیم نول قطع می‌باشد را نشان می‌دهد. این شکل کاهش جریان را در مقایسه با شکل (۱۲) نشان می‌دهد که تائیدی بر صحت نتایج حاصل از شبیه‌سازی انجام شده در این حالت



شکل (۱۱) مدار سه فاز لامپ تخلیه گازی (باخزن).



شکل (۱۲) جریان فاز پس از اصلاح ضریب قدرت  
(الف) موج جریان (ب) طیف هارمونیکی مربوطه.



شکل (۱۳) موج جریان سیم نول مدار لامپ تخلیه گازی پس از اصلاح ضریب قدرت.

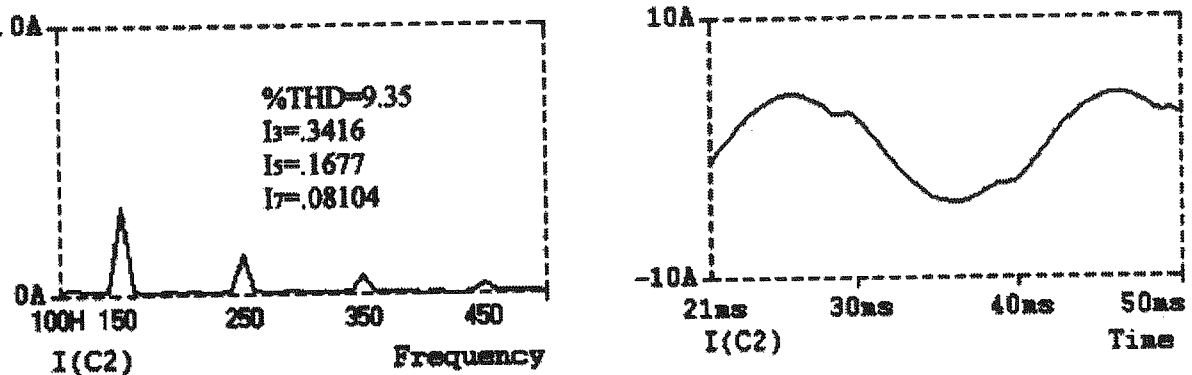
نکته دیگری که در جدول (۲) مشاهده می‌شود افزایش در صد ضریب اعوجاج کلی (THD٪) پس از اصلاح ضریب قدرت لامپ تخلیه گازی می‌باشد. اگرچه مقایسه شکل‌های (۷) و (۱۲) نشان میدهد که مقدار هارمونیک‌های جریان فاز پس از اصلاح ضریب قدرت اندکی افزوده شده است، لیکن افزایش THD٪ به طور عمدۀ بدليل کاهش مؤلفه اصلی جریان در اثر افزودن خازن می‌باشد.

لازم به توضیح است که عبور جریان هارمونیکی از امپدانس منبع باعث ایجاد هارمونی در ولتاژ فاز می‌گردد که به نوعه خود جریان هارمونیکی متضایر در خازن‌ها ایجاد نموده و با هارمونیک‌های قبلی جریان جمع و سبب افزایش دامنه هارمونیک‌های جریان فاز می‌گردد.

### ۳- اثر قطع نقطه صفر اتصال ستاره خازن از سیم نول

با مقایسه شکل‌های (۱۲) و (۹) مشاهده می‌شود که مقدار جریان جاری شده در سیم نول پس از اصلاح ضریب قدرت بیشتر از حالت قبل از اصلاح می‌باشد. علت این مسئله همانگونه که در قسمت قبل بیان شد اینست که جریان مصرفی توسط لامپ‌های مذکور آلوده به هارمونی بوده و با توجه به وجود امپدانس منبع، هارمونیک‌های جریان باعث تولید هارمونیک ولتاژی شوند. بنابراین با توجه به شکل (۱۱) ولتاژ دو سر خازن‌ها آلوده به هارمونی بوده و با توجه به خطی بودن امپدانس خازن، جریان خازن‌ها در شکل (۱۴) آلوده به هارمونی با مرتبه هارمونیک‌های موجود در طیف هارمونیکی جریان فاز می‌باشد. بنابراین هارمونیک‌های مضرب سه موجود در جریان خازن‌ها اصلاح ضریب توان در نقطه صفر اتصال ستاره با یکدیگر جمع شده و به جریان نول اضافه می‌گردد. لذا جهت جلوگیری از توزیع این جریان در سیم نول می‌توان نقطه صفر اتصال ستاره خازن‌ها را از سیم نول قطع کرد.

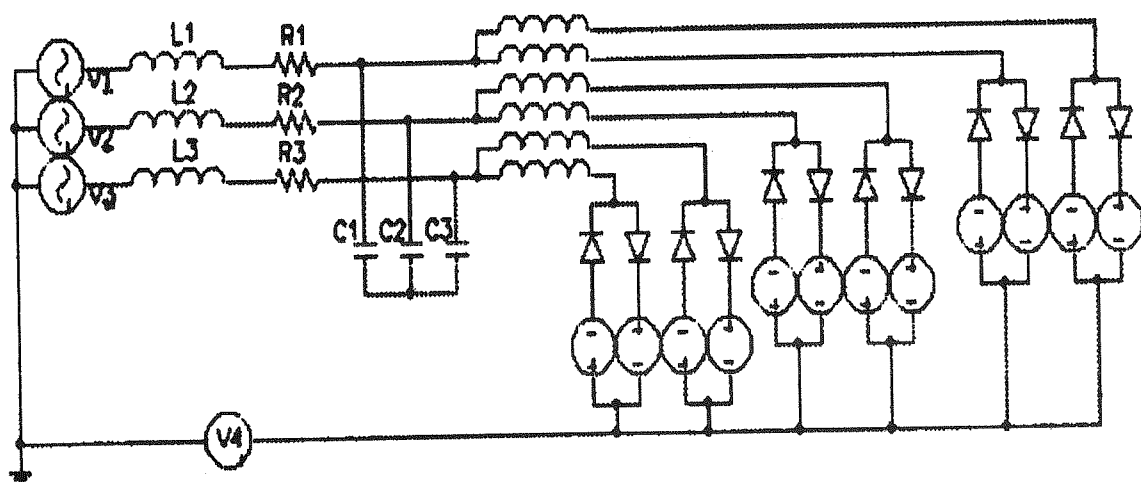
شکل (۱۵) مدار سه فاز لامپ تخلیه گازی در حالتی که نقطه صفر اتصال ستاره از سیم نول قطع می‌باشد را نشان می‌دهد. بدليل سه سیمه بودن اتصال ستاره خازن‌ها جریان در آنها نمی‌تواند دارای هارمونیکی سوم باشد. شکل (۱۶) موج و طیف هارمونیکی جریان خازن و C<sub>3</sub> در شکل (۱۵) را نشان می‌دهد. همانگونه که در این شکل مشاهده می‌شود هارمونیک سوم و مضارب آن بسیار ناچیز بوده و در مقایسه با شکل (۱۴) دامنه هارمونیک‌های مذکور قابل صرفنظر می‌باشد. لذا جریان سیم نول شکل (۱۱) از ۵۴۵/۲ آمپر به ۰/۵۲ آمپر در شکل (۱۷) کاهش می‌یابد. شکل (۱۸) جریان سیم نول حاصل از نتایج اندازه‌گیری عملی



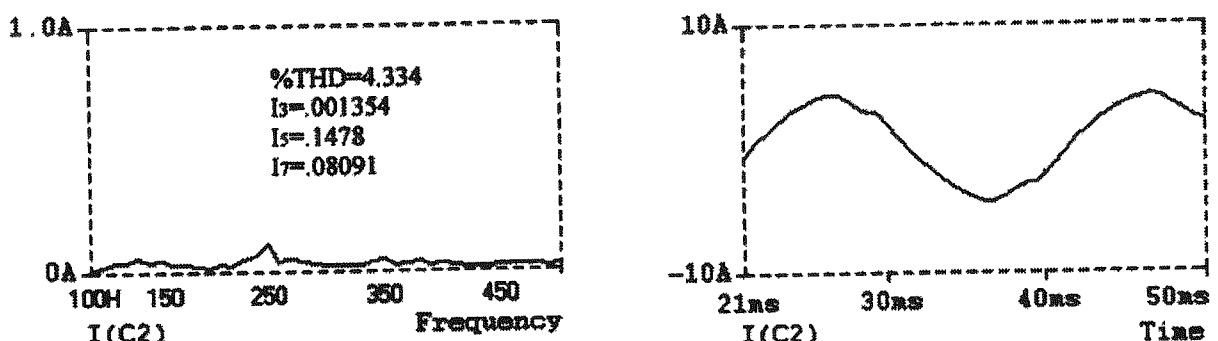
(ب)

(الف)

شکل (۱۴) جریان خازن C3 (شکل (۱۱) الف) (الف) موج جریان ب (ب) طیف هارمونیکی مربوطه.



شکل (۱۵) مدار سه فاز لامپ تخلیه گازی ( نقطه صفر اتصال ستاره خازن ها از سیم نول قطع است).



(ب)

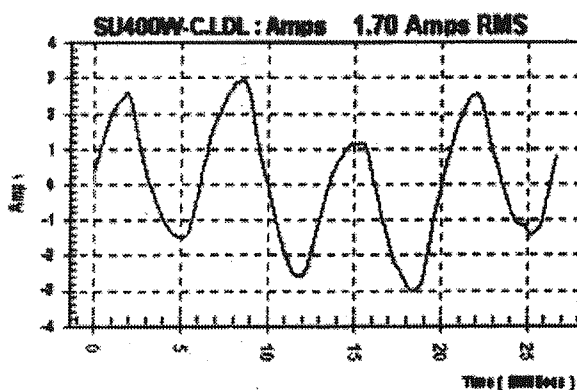
(الف)

شکل (۱۶) جریان خازن C3 در شکل (۱۵) الف) (الف) موج جریان ب (ب) طیف هارمونیکی مربوطه.

انتظار می‌رود جریان عبوری از آن ناچیز و فقط مربوطه به عدم تقارن بار باشد، ممکن است در عمل به دلیل حضور هارمونیک‌های مضرب سه جریان نسبتیًّا زیادی را حمل نماید. عدم پیش‌بینی این مسئله می‌تواند مشکلاتی را در شبکه قدرت بوجود آورد.

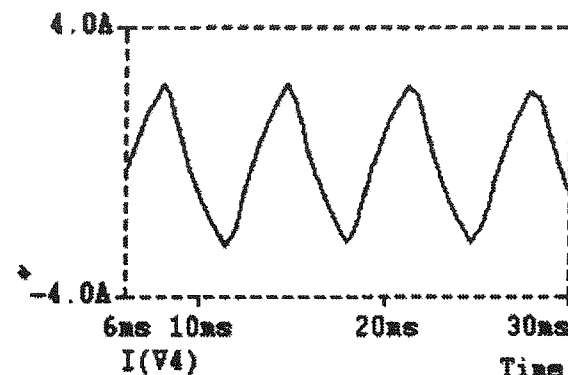
در صورت اصلاح ضریب توان، میزان اعوجاج هارمونیکی و %THD جریان فاز و سیم نول نسبت به حالت قبل بیشتر می‌شود. افزایش اعوجاج هارمونیکی ناشی از مشارکت هارمونیک‌های جریان خازن است که خود در اثر هارمونیک‌های تولید شده در ولتاژ منبع به دلیل جریان غیرسینوسی لامپ بوجود می‌آید. افزایش %THD هارمونیک‌های تولید شده توسط خازن است لیکن عمدتاً ناشی از حذف مؤلفه راکتیو جریان پس از اصلاح ضریب قدرت می‌باشد.

همچنین نشان داده شد که جریان سیم نول در حالتی که نقطه صفر اتصال ستاره خازن از سیم نول باز می‌شود کمتر از حالتی است که نقطه مذکور به سیم نول وصل باشد که علت این موضوع تزریق جریان هارمونیک‌های مضرب سه توسط خازن‌های اصلاح ضریب توان در حالت وصل نقطه صفر ستاره خازن‌ها به سیم نول می‌باشد. لذا اگر از خازن اصلاح ضریب توان در مدار لامپ استفاده می‌شود بهتر است که نقطه صفر اتصال خازن‌ها از سیم نول قطع باشد.

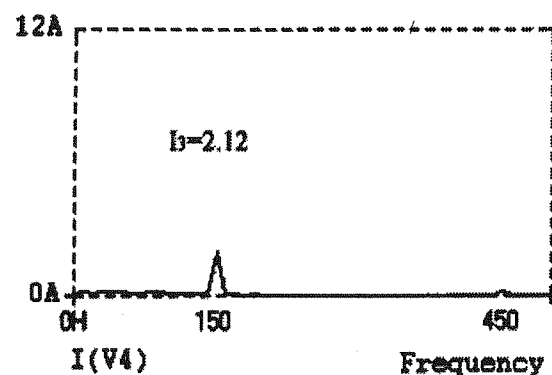


شکل (۱۸) شکل موج جریان سیم نول مدار لامپ سه فاز (نقطه صفر اتصال ستاره خازن شناور).

- [1] J. Arrillaga, D. A. Bradley YP. S. Bodger, "Power System Harmonics", John Wiley & Sons, July 1989.
- [2] "Fluorescent lamps and lighting, by W. Elenbass (and others), Holland, philips Technical library, 1985.
- [3] A. Model of Mercury Arcs Lamp's Terminal V-I



(الف)



(ب)

شکل (۱۷) جریان نول (الف) شکل موج جریان  
ب(طیف هارمونیکی مربوط به مدار شکل (۱۵))

### نتیجه‌گیری

اعوجاج هارمونیکی و ضریب قدرت لامپ‌های تخلیه گازی در دو حالت با خازن و بدون خازن اصلاح ضریب توان با استفاده از نتایج شبیه‌سازی و اندازه‌گیری عملی بررسی و تحلیل گردید که تطابق خوب بین نتایج حاکی از دقت و صحت آنهاست.

یکی از نکات قابل تأمل اینست که به دلیل مشخصه غیرخطی لامپ‌های تخلیه گازی جریان فازها آلوده به هارمونیک‌های مضرب سه در سیم نول جمع می‌شوند و مقدار قابل ملاحظه‌ای را تشکیل دهند. بنابراین سیمی که

### مراجع

- Behavior" IEEE Transaction on Industry Application, Vol. IA-178, No.4, July-August 1981, pp. 419-426.
- [4] "A Harmonic Domain computational Package for Nonlinear Problems and its Application to Electric Arcs" E. Acha A. semlyen N. Rajakovic IEEE Transaction on Power Delivery, Vol. 5, No. 3, July-1990, pp. 1390-1397.